

L6大鼠肌细胞细胞系

[下载为PDF](#)

- 15 次围观

产品图片



产品英文名称

[L6 Rat Myoblast Cell Line](#)

产品别名

[Kerafast独特的生物试剂](#)

货号/SKU

ESK201-FP

货号/规格

1 vial

库存与交货期

1-2周

人民币价格

13585

人民币价格说明

本商品人民币2024年销售价格正在调整中，请等待更新完毕。

本商品的展示的人民币价格已包含商品本身金额、VAT增值税13%、国际运输运费、国内物流运费、运输保险、以及冷链包装材料（例如液氮罐、泡沫箱、金属桶、蓝冰、湿冰、干冰、蓄冷剂、液氮等）、装卸费、相关资料费、人力支出等一切费用。

本商品的美元价、市场价、零售价、厂商指导价或该商品的曾经展示过的销售价等，并非商品原价，仅供参考。

试剂海关审批

使用人负责A/B风险申请资质

国外采购

支持/部分需签MTA

厂牌

Kerafast, Inc.

品牌

[Kerafast®](#)

产品基础信息

From the laboratory of Amira Klip, PhD, Hospital For Sick Children.

产品描述信息

Product Type:

Cell Line

Name: L6
Cell Type: Skeletal muscle
Organism: Rat
Accession ID: CVCL_0385
Source: Quadriceps
Morphology: Myoblast/Myotube
Biosafety Level: II
Subculturing: 2-3 days
Growth Conditions: MEM- α (with Ribonucleosides and Deoxyribonucleosides) +10% FBS (See protocol below)
Cryopreservation: MEM- α +10% FBS+ 10% DMSO
Storage: Liquid nitrogen
Shipped: Dry ice

产品安全信息

Cell Line References Mitsumoto Y, Burdett E, Grant A, Klip A. (1991) Differential expression of the GLUT1 and GLUT4 glucose transporters during differentiation of L6 muscle cells. *Biochem Biophys Res Commun.* 175: 652-9. Tsakiridis T, Vranic M, Klip A. (1994) Disassembly of the Actin Network Inhibits Insulin-dependent Stimulation of Glucose Transport and Prevents Recruitment of Glucose Transporters to the Plasma Membrane. *J. Biol. Chem.* 269: 29934-42. Huang C, Somwar R, Patel N, Niu W, Török D, Klip A. Sustained exposure of L6 myotubes to high glucose and insulin decreases insulin-stimulated GLUT4 translocation but upregulates GLUT4 activity. *Diabetes.* 2002 Jul;51(7):2090-8. Application References Pillon NJ, Li YE, Fink LN, Brozinick JT, Nikolayev A, Kuo MS, Bilan PJ, Klip A. (2014) Nucleotides released from palmitate-challenged muscle cells through pannexin-3 attract monocytes. *Diabetes.* 63: 3815-26. Li Q, Zhu X, Ishikura S, Zhang D, Gao J, Sun Y, Contreras-Ferrat A, Foley KP, Lavandero S, Yao Z, Bilan PJ, Klip A, Niu W. (2014) Ca²⁺ signals promote GLUT4 exocytosis and reduce its endocytosis in muscle cells. *Am J Physiol Endocrinol Metab.* Jul 15;307(2):E209-24. Sun Y, Chiu TT, Foley KP, Bilan PJ, Klip A. (2014) Myosin Va mediates Rab8A-regulated GLUT4 vesicle exocytosis in insulin-stimulated muscle cells. *Mol Biol Cell.* 25: 1159-70. Foley KP, Klip A. (2014) Dynamic GLUT4 sorting through a syntaxin-6 compartment in muscle cells is derailed by insulin resistance-causing ceramide. *Biol Open.* 3: 314-25. Chiu TT, Sun Y, Koshkina A, Klip A. (2013) Rac-1 superactivation triggers insulin-independent glucose transporter 4 (GLUT4) translocation that bypasses signaling defects exerted by c-Jun N-terminal kinase (JNK)- and ceramide-induced insulin resistance. *J Biol Chem.* 288:17520-31. Pillon NJ, Arane K, Bilan PJ, Chiu TT, Klip A. (2012) Muscle cells challenged with saturated fatty acids mount an autonomous inflammatory response that activates macrophages. *Cell Commun Signal.* 10: 30. Boguslavsky S, Chiu T, Foley KP, Osorio-Fuentealba C, Antonescu CN, Bayer KU, Bilan PJ, Klip A. (2012) Myo1c binding to submembrane actin mediates insulin-induced tethering of GLUT4 vesicles. *Mol Biol Cell.* 23: 4065-78. Kewalramani G, Fink LN, Asadi F, Klip A. (2011) Palmitate-activated macrophages confer insulin resistance to muscle cells by a mechanism involving protein kinase C γ and δ . *PLoS One.* 6: e26947. Sun Y, Bilan PJ, Liu Z, Klip A. (2010) Rab8A and Rab13 are activated by insulin and regulate GLUT4 translocation in muscle cells. *Proc Natl Acad Sci U S A.* 107: 19909-14. Ishikura S, Antonescu CN, Klip A. (2010) Documenting GLUT4 Exocytosis and Endocytosis in Muscle Cell Monolayers. *Curr. Protoc. Cell Biol., John Wiley & Sons, Inc.,* 46: Unit 15.15: 1-9. Samokhvalov V, Bilan PJ, Schertzer JD, Antonescu CN, Klip A. (2009) Palmitate- and lipopolysaccharide-activated macrophages evoke contrasting insulin responses in muscle cells. *Am J Physiol Endocrinol Metab.* 296: E37-46. Antonescu CN, Díaz M, Femia G, Planas JV, Klip A. (2008) Clathrin-dependent and independent endocytosis of glucose transporter 4 (GLUT4) in myoblasts: regulation by mitochondrial uncoupling. *Traffic.* 9: 1173-90. Thong FS, Bilan PJ, Klip A. (2007) The Rab GTPase-activating protein AS160 integrates Akt, protein kinase C, and AMP-activated protein kinase signals regulating GLUT4 traffic. *Diabetes.* 56: 414-23. Wijesekara N, Tung A, Thong F, Klip A. (2006) Muscle cell depolarization induces again in surface GLUT4 via reduced endocytosis independently of AMPK. *Am J Physiol Endocrinol Metab.* 290: E1276-86. Ishiki M, Randhawa VK, Poon V, Jebailey L, Klip A. (2005) Insulin regulates the membrane arrival, fusion, and C-terminal unmasking of glucose transporter-4 via distinct phosphoinositides. *J Biol Chem.* 280: 28792-802. Rudich A, Konrad D, Török D, Ben-Romano R, Huang C, Niu W, Garg RR, Wijesekara N, Germinario RJ, Bilan PJ, Klip A. (2003) Indinavir uncovers different contributions of GLUT4 and GLUT1 towards glucose uptake in muscle and fat cells and tissues. *Diabetologia* 46: 649-58. Wang Q, Somwar R, Bilan PJ, Liu Z, Jin J, Woodgett JR, Klip A. (1999) Protein kinase B/Akt participates in GLUT4 translocation by insulin in L6 myoblasts. *Mol Cell Biol.* 19: 4008-18. Wang Q, Khayat Z, Kishi K, Ebina Y, Klip A. (1998) GLUT4 translocation by insulin in intact muscle cells: detection by a fast and quantitative assay. *FEBS Letters* 427: 193-7. Jaldin-Fincati JR, Bilan PJ, Klip A. GLUT4 Translocation in Single Muscle Cells in Culture: Epitope Detection by Immunofluorescence. *Methods Mol Biol.* 2018;1713:175-192. View Article Kalinovich A, Dehvari N, Åslund A, et al. Treatment with a β -2-adrenoceptor agonist stimulates glucose uptake in skeletal muscle and improves glucose homeostasis, insulin resistance and hepatic steatosis in mice with diet-induced obesity [published online ahead of print, 2020 May 29]. *Diabetologia.* 2020;10.1007/s00125-020-05171-y. View Article Kalinovich A, Dehvari N, Åslund A, et al. Treatment with a β -2-adrenoceptor agonist stimulates glucose uptake in skeletal muscle and improves

glucose homeostasis, insulin resistance and hepatic steatosis in mice with diet-induced obesity. Diabetologia. 2020;63(8):1603-1615. View ArticleIf you publish research with this product, please let us know so we can cite your paper.

主要内容

未加工的大鼠骨骼 (L6) 肌细胞细胞系, 用于高融合电位和肌室中的Glut4中的内源性表达。高灯: 将高可靠性分化为肌室肌细胞表型, 天然表达Glut4葡萄糖转运蛋白显著的胰岛素刺激葡萄糖摄取生物反应可用于新的抗糖尿病复合筛选可用于通过基于质粒的基因转移和病毒感染方案 (逆转录病毒和腺病毒) 胰岛素刺激骨骼肌的胰岛素刺激主要是由于葡萄糖转运蛋白的易位的血糖输送到细胞表面。 L6细胞最初来自大鼠骨骼肌, 作为单核肌细胞繁殖, 但可以分化为多核原发性肌管。 Myotubes表达了几种典型的骨骼肌, 包括Glut4葡萄糖转运蛋白。 胰岛素刺激具有高灵敏度和最大反应性的葡萄糖摄取, 并且在分化的L6 myotubes和Glut4表达方中, 随着L6细胞分化, 可以获得这些特性。 L6 myotubes的这些特征是重要的, 因为Glut4负责成熟的骨骼肌中的胰岛素依赖性葡萄糖摄取。 还有: L6-Glut4MYC大鼠肌细胞肌细胞系列来自Amira Klip, Phd, Sick Childs医院的实验室。

厂牌介绍

关于Kerafast Inc.

Kerafast 是一家位于波士顿的试剂公司, 其主要使命是为QuanQiu科学界提供易于使用的独特实验室研究工具。我们的产品组合包括细胞系、抗体、小分子、染料等, 其中许多在其他地方无法获得。自 2011 年成立以来, 来自[全球 190 多个机构](#)的研究人员通过我们的在线平台提供了他们的创新试剂, 无需通过传统的材料转让协议流程即可快速获取材料。

我们处理提供实验室的所有销售和运输物流, 并从每次销售中返还丰厚的特许权使用费。因此, 我们帮助提供实验室节省时间和资源, 同时为进一步研究提供额外资金。采购科学家可以更轻松地发现和获取其他地方通常无法获得的独特试剂, 同时还可以资助其他研究人员的工作。这创建了一个QuanQiu科学家社区, 他们贡献和获取Reagent for the Greater Good, 以加速他们自己的研究以及整体科学进步。

2018 年, Kerafast 与[Absolute Antibody](#)合并, 后者是一家总部位于英国的公司, 其愿景是为所有研究人员提供重组抗体技术。 [此次合并](#)将两家公司聚集在一起, 共同致力于改善科学界可用的研究工具的选择。

品牌标识



产品关键词

- [kerafast抗体ED2003](#)
- [kerafast 抗体](#)
- [kerafast国内代理商](#)
- [kerafast](#)
- [kerafast 代理](#)
- [kerafast细胞](#)
- [kerafast抗体代理](#)
- [kerafast代理商](#)
- [kerafast品牌](#)
- [kerafast代理](#)
- [kerafast细胞代购kerafast品牌代理](#)
- [kerafast华北代理](#)
- [美国kerafast公司](#)
- [kerafast公司](#)
- [进口kerafast代理](#)
- [kerafast工香通](#)
- [kerafast中国代理](#)
- [kerafast官网](#)
- [kerafast抗体](#)
- [kerafast专业代理](#)

一键获取大包装优惠报价

- 无 -

选择您的报价场景

- 【我们直接使用】 需要优惠报价、大包装规格、货期 -- ---->[报价默认含增值税13%发票; 尽量提供货号、规格、需求数量]
- 【需要技术文档】 产品说明书、COA、MSDS、手册 -- ---->[默认提供说明书或者COA, 特别技术指标要求请下面填入详细描述]
- 【我帮客户找货】 需要优惠报价、大包装规格、货期 -- ---->[报价默认含增值税13%发票]
- 【推荐替代产品】 需要优惠报价、大包装规格、货期 -- ---->[提供替代产品的价格, 默认含增值税13%发票]
- 【我能原厂直采】 请只提供代理进口清关服务的报价 -- ---->[适合只需要进口许可证代办服务、清关服务的专业级买家, 独立服务]
- 【其它报价场景】

请输入您的情况与报价要求

请输入您的情况与报价要求

报价要求详细描述

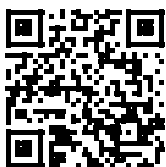
【如有请填写;若无留空即可】按10KG、25L大量采购的时候, 是否可

贵单位贵姓 请输入您的单位名称或贵姓, 以便于我们联系您

接受报价的E-mail 请输入您接受报价单的E-mail, 例如:example@qq.com

马上发我报价

手机扫描二维码阅读本页



可能感兴趣的内容

[HM-34柠檬酸杆菌属,30_2\(细菌\)](#)

2022-04-01

[道康宁DC184 SYLGARD 184灌封胶PDMS 110g](#)

2021-12-02

[NR-13472结核分枝杆菌,CDC1551TransposonMutant34\(MT1862,Rv1814\)\(突变细菌\)](#)

2022-04-01

[NR-22091_肠沙门氏菌,SerovarNewport,分离物S8949\(细菌\)](#)

2022-04-01

[专家提出噬菌体防御系统基因的影响应引起重视](#)

2022-06-17

[MRA-742chabaudichabaudi疟原虫,AS\(3CQ\)\(寄生原生动\)](#)

2022-04-01

[NR-28911来自成年雌性曼氏血吸虫的基因组DNA,菌株NMRI\(核酸\)](#)

2022-04-01

[NR-3228多克隆抗仙台病毒,\(抗血清,豚鼠\)\(多克隆抗血清\)](#)

2022-03-31

[NR-46819金黄色葡萄球菌亚种.金黄色葡萄球菌,USA300JE2,转座子突变体SAUSA300_0293\(NE276\)\(突变体细菌\)](#)

2022-04-01

[NR-42566_晚期免疫性乙型肝炎病毒抗血清\(多克隆抗血清\)](#)

2022-04-01

[呼肠孤病毒\(REO\) FITC共轭物1毫升](#)

2019-05-08

[抗CD63 \[ME491\]抗体](#)

2021-12-21

[NR-50234 寨卡病毒,PLCaI_ZV?\(人类/2013/泰国\)\(病毒\)](#)

2022-04-01

[研究揭示隐藻的光适应与捕光调节机制](#)

2024-08-19

[NR-10133金黄色葡萄球菌,TCH1516\(细菌\)](#)

2022-04-01

[NR-3976多克隆抗黄斑支原体,PG-15,\(抗血清,驴\)\(多克隆抗血清\)](#)

2022-03-31

[NR-48130金黄色葡萄球菌亚种.金黄色葡萄球菌,USA300JE2,转座子突变体SAUSA300_1783\(NE1588\)\(突变细菌\)](#)

2022-04-01

[NR-29036 甲型流感病毒,A/PuertoRico/8-CV9/1934\(H1N1\)\(病毒\)](#)

2022-04-01

[NR-38044型登革热病毒,D85-019\(病毒\)](#)

2022-03-31

[NR-47063金黄色葡萄球菌亚种金黄色葡萄球菌、JE2、转座子突变体NE520\(SAUSA300_1452\)\(突变细菌\)](#)

2022-04-01